

کاربرد سطوح پخش کننده در افزایش راندمان آکوستیکی مانع های موازی شیب دار T شکل

محمد رضامنظم^۱، پروین نصیری^۲، نیلوفر جاوید روزی^۳

تاریخ پذیرش: ۸۸/۱/۳۱

تاریخ ویرایش: ۸۸/۱/۱۶

تاریخ دریافت: ۸۷/۹/۱۰

چکیده

زمینه و اهداف: این مقاله عملکرد آکوستیکی مانع های شیب دار با سطوح و لبه های پخش کننده دار را مورد بررسی قرار می دهد. عملکرد پوشش های جاذب و همچنین سخت نیز با یکدیگر مقایسه گردیده است.

روش بررسی: در این تحقیق روش شبیه سازی دو بعدی عنصر مرزی به منظور پیش بینی افت صدادار مانع ها بکار گرفته شده است. استفاده از سطوح پخش کننده شیار دار QRD روی لبه های سطوح و صفحات همه مدل های مانع های شیبدار در این مقاله مورد مطالعه قرار گرفته تا افزایش اثر بخشی مانع ها را با موانع موادی کاملاً جاذب در موقعیت شنوندۀ مورد مقایسه قرار گیرد.

یافته ها: نتایج این تحقیق نشان داد که کاربرد سطوح پخش کننده شیار دار با فرکانس طراحی ۴۰۰ هرتز در مانع های شیبدار با شیب ۵ درجه، عملکرد کلی مانع سخت معادل آنها را به اندازه ۱/۸ دسی بل در شبکه ای وزنی A افزایش می دهد. علت افزایش عملکرد کلی مانع های شیار دار نیز کار آئی بهتر آنها در فرکانس های پائین می باشد. همچنین مشخص گردید که تمامی مانع های طراحی شده با ۱۰ درجه شیب عملکرد کلی بهتری دارند.

نتیجه گیری : اقتصادی ترین مانع موادی سرو صدای ترافیک که عملکرد بالای قابل توجهی نیز دارند، بوسیله پوشش QRD و شیبدار کردن ۱۰ درجه ای بدست آمده اند. به طور میانگین، افت صدادار این مانع ها ۱۶/۳ دسی بل در شبکه ای وزنی A پیش بینی شده است.

کلید واژه ها: مانع موادی شیب دار، سطوح پخش کننده، شبیه سازی دو بعدی عنصر مرزی

ممکن است بوسیله ای نصب مانع های آکوستیکی که از رسیدن صدای ترافیک به شنوندۀ ای که در منطقه ای سایه قرار گرفته است جلوگیری می کند، به طور موثری حاصل شود. در مناطق مسکونی و یا مکانهای شهری که در دو سمت جاده ها واقع شده اند، معمولاً از موانع صوتی

مقدمه

در سالهای اخیر، ترافیک جاده ای به ویژه در شهرکها و حتی شهرهای بزرگ به سرعت افزایش پیدا کرده است، که خود بعنوان یکی از مهم ترین منابع آلودگی صوتی شناخته شده است. کاهش مواجهه با صدا

۱-(نویسنده مسئول) استادیار گروه بهداشت حرفه ای، دانشکده بهداشت، دانشگاه علوم پزشکی تهران mmonazzam@hotmail.com

۲-استاد گروه بهداشت حرفه ای، دانشکده بهداشت، دانشگاه علوم پزشکی تهران

۳-دانشجوی کارشناسی بهداشت حرفه ای، دانشکده بهداشت، دانشگاه علوم پزشکی تهران



می شود. در این مورد ، فوجی وارا در سال ۱۹۹۰ مانع های راکتیورا بمنظور از بین بردن اثر لبه هادر مانع های صوتی تکی منعکس کننده معرفی کرد. او کارایی مانع های نرم رادر محدوده‌ی فرکانس بوسیله‌ی پایین آوردن فشار سطحی بیش از ۱۰ دسی بل افزایش داد. [۹] عملکرد آکوستیکی جفت مانع های عمودی کنار جاده‌ای پخش کننده، توسط کلادیو و همکاران، در سال ۲۰۰۷، بطور تجربی در یک مدل قیاسی آزمایش شده و با مانع های عمودی انعکاسی مقایسه شده است. فواید تضعیف صدای قابل ملاحظه‌ای نه تنها در پشت منطقه‌ی سایه، بلکه در بالای آن نیز کشف شده بود. لذا مشخص شد که سطوح پخش کننده‌ی مانع های عمودی ترافیکی می‌توانند بطور موثری به کاهش اثر انعکاسهای متعدد کمک کند [۱۰]. همچنین کاربرد سطوح پخش کننده بر مانع های عمودی تکی انعکاسی توسط منظم و همکاران بررسی شده است که بهترین شکل آن، استفاده از نوع A شکل می‌باشد. [۵] هیچ تحقیقی تاکنون درخصوص عملکرد مانع های موازی شیبدار با سطوح پخش کننده انجام نشده است. این مقاله اثر پخش کننده‌های شیبدار بر روی عملکرد مانع های صوتی موازی شیبدار را بررسی می‌کند. پخش کننده‌های شیبدار در این تحقیق، QRD بوده که رایج‌ترین نوع پخش کننده‌ی شرودر می‌باشد.

در این تحقیق، مانع انعکاسی تکی یک مانع A شکل سخت شیبدار می‌باشد. در این مورد بوسیله‌ی تحقیقات بیشماری نشان داده شده است که یک مانع T شکل عمودی سخت، یک مانع با عملکرد بالا است و همچنین بهترین شکل استفاده‌ی آن نیز کنارهم قرارگیری عناصر جاذب و پخش کننده‌ها می‌باشد [۳ و ۵]. در این گزارش عملکرد مانع های صوتی موازی شیبدار مختلف با کاربرد سطوح پخش کننده‌ی شیبدار، بر بالای سطوح و سطوح جانبی مانع ها با طراحی فرکانس ها و خصوصیات متفاوت با استفاده از روش شبیه سازی دو بعدی عنصر مرزی برآورد شده است. افت صدا در فرکانس مرکزی ۱۱/۳ اکتاوباند محاسبه شده است.

نتایج همچنین بمانع های موازی شیبدار جاذب دار و سطوح سخت مقایسه شده اند تا نشان دهنده که

موازی استفاده می‌شود اما انعکاس های متعدد بین آنها باعث تنزل معنی دار اثربخشی هر کدام از آنها به تنهایی می‌شود [۱ و ۲]. به منظور افزایش اثربخشی مانع های صوتی تکی، مطالعات تئوری و تجربی فراوانی انجام شده است [۳، ۴ و ۵].

هر چند تلاش های اندکی از کاهش اثر انعکاسات متعدد مانع های صوتی مختلف گزارش شده است، با این حال نگرانی در مورد پیامد احتیاجات گسترده‌ی موانع ترافیکی شناخته شده رو به افزایش است. بررسی جزء به جزء مقالات پیشین در مورد انعکاسات متعدد مانع های موازی نشانگر اینست که بیشتر تحقیقات گذشته بر روی تنزل قابل سنجش افت صدا در مانع دوم تمرکز کرده اند [۶].

با در نظر گرفتن موانع موازی جاده‌ای قدیمی، موانع صوتی جدید به طور عمده بر دو اصل اساسی استوار هستند. اصل اول شامل کاربرد جاذب های صوتی و یاسطوح ولبه های پخش کننده‌ی مانع هایی باشد. اصل دوم نیز شامل استفاده از شکل جدید مانع هایی است که بر تغییر زوایای مانع دلالت می‌کنند و تحت عنوان موانع موازی شبیه دار معرفی می‌شوند. اخیرا تحقیقات متعددی مبنی بر افزایش اثربخشی موانع موازی صوتی ترافیکی با استفاده از عناصر جاذب، ارائه شده است. در این مورد واتس و گادفری در یک تحقیق میدانی، پیشرفت با اهمیتی را با تعویض سطح مانع ها از حالت انعکاسی به جاذب های صوتی نشان دادند [۷].

عقیده‌ی شیبدار کردن موانع، اصلی است که امواج را رو به بالا هدایت می‌کند بنابراین اثرات مجازی مانع های موازی را کاهش می‌دهد. واتس، اثربخشی هردو مانع موازی عمودی و مانع شیبدار ساده صوتی را بررسی کرده و نشان داد که جاذب های صوتی و موانع شیبدار، هردو، اثربخشی موانع موازی را افزایش می‌دهند، همچنین آنها در کاهش اثربخشی مانع های تکی که به ایجاد انعکاسات ناخواسته مربوط می‌شود، مؤثر می‌باشند [۸].

یک اصل مهم در مورد مانع های صوتی موازی این است که، هنگامی که این مانع هادر دو طرف جاده نصب می‌شوند، همیشه استفاده از سطوح سخت آکوستیکی نسبت به سطوح جاذب، ترجیح داده

به منظور شبیه سازی اثر سطوح جاذب، مواد جاذب فیبری در برخی مدل‌ها استفاده شده و برای محاسبه ای امپدانس ویژه مواد فیبری از فرمول تجربی دلانی و بیزلی استفاده شده است [۱۲]. امپدانس ویژه ای معمولی شیارهای QRD بوسیله‌ی روش معرفی شده توسط واو محاسبه شده است [۱۳]. همچنین در این روش تاثیرات دما و ویسکوزیته در داخل شیارهای مدنظر قرار گرفته است هرچند که معمولاً، از اثر چسبندگی و گرما صرف نظر می‌شود.

سطوح پخش کننده مورد استفاده از نوع شیار دار شروع در بوده و یکی از مشهور ترین آنها یعنی پخش کننده (Quadratic Residue Diffuser) QRD مورد استفاده قرار گرفت.

QRD یک پخش کننده است که شامل رده‌هایی از شیارها با پهناهی یکسان و عمق متفاوت می‌باشد. شیارها بوسیله‌ی تیغه‌های نازکی از هم جدا شده اند. بین هر تناوب، عمق شیارها بوسیله‌ی باقیمانده ای توان دوم توالی کنترل می‌شود. در هر چاهه ایجاد شده و موج انعکاسی آن فازهای حرکتی متفاوتی مطابق با طول مسیر متفاوت طی شده دارند. اگر تفاوت فازهای اندازه‌ی کافی زیاد باشد، تفرق قابل توجه موج انعکاسی همراه با مشخصات تفرق وابسته به عمق عناصر ایجاد خواهد کرد. در بهترین وضعیت و طراحی، یک QRD، باید یک زمینه‌ی پراکندگی یکنواختی را بین محدوده‌ی فرکانس طراحی بوجود آورد. اطلاعات بیشتر همراه با جزئیات بیشتر در مورد طراحی، خصوصیات جاذب و پخش کننده‌ی این نوع سطوح رامی توانید در کتاب کوکس و آنتونیو و مقاله‌ی آخر منظم، بیابید [۱۴ و ۱۵].

در این تحقیق همواره منبع صوتی بسیار نزدیک به سطح زمین در نظر گرفته شده است. علت این امر نیز حذف تداخلات امواج مستقیم و خیر مستقیم تابش شده از منبع صوتی و تصویر آن می‌باشد. مختصات قرار گیری منبع صوتی در این تحقیق همواره $(5, 0/02)$ متر می‌باشد. یعنی منبع بفاصله ۵ متر از خط مرکزی مانع شماره ۱ در ارتفاع ۲ سانتی متری بالای سطح زمین می‌باشد. جزئیات قرارگیری منبع صوتی در شکل ۱ نشان داده شده است.

همچنین در این تحقیق همواره جنس زمین سخت

استفاده از سطوح شبیدار به جای عناصر جاذب در مانع‌های موازی شبیدار بمنظور از بین بردن اثر انعکاس‌های متعدد در اینگونه موارد موثر می‌باشد.

روش بورسی

در این بررسی جهت برآوردادن صادر مانع موازی شبیدار از روش شبیه سازی دو بعدی عنصر مرزی (Boundary Element Method=BEM) استفاده گردید. در روش دو بعدی مانع صوتی موازی شبیدار با طول نامتناهی روی یک سطح قرار می‌گیرد و فرض بر این است که خصوصیات آکوستیکی و شکل سطح مانع های آکوستیکی در سرتاسر طول مسیر تغییر نمی‌کند. در این شرایط محور Z موازی امتداد مانع در طول جاده خواهد بود. بنابراین، معادله‌ی هلم هولتز همراه با معادله‌ی انتگرال مرزی در یک فرکانس مشخص با استفاده از روش BEM حل خواهد شد. جزئیات کامل این روش در منبع شماره ۵ قابل دسترسی می‌باشد. استفاده از روش دو بعدی بسیار کم هزینه تر از روش سه بعدی بوده مضافاً بر اینکه در بسیاری از پژوهش‌های قبلی دقت قابل قبول روش دو بعدی به اثبات رسیده است. مرور وسیعی بر مطالعات انجام شده در این زمینه و اعتبارسنجی‌های میدانی و مقیاسی انجام شده که در این منبع قابل مشاهده می‌باشد [۱۱]. در صحت نتایج بدست آمده از روش شبیه سازی عنصر مرزی، ابعاد المنتها اهمیت زیادی دارند. در این خصوص هر چه ابعاد المنت‌ها کمتر باشد دقت نتایج بالاتر خواهد بود. در این خصوص عدمه محققین نشان داده اند که طول المنت کمتر از $5/8$ می‌تواند فشار سطحی پایداری را بطور منطقی ارائه داده و نتایج بدست آمده از صحت و دقت مناسبی برخوردار خواهند بود. لذا در این تحقیق طول المنت‌ها کوچکتر از $5/1$ کوتاه ترین طول موج مورد بررسی انتخاب گردیدند. در این خصوص چون بالاترین فرکانس مورد بررسی 4000 هرتز بود لذا با در نظر گرفتن سرعت صوت 343 متر بر ثانیه کوتاه ترین طول موج مورد بررسی $8/5$ سانتی متر بوده و طول المنت‌ها کمتر از $4/1$ سانتی متر انتخاب گردیدند. بدیهی است بمنظور حفظ دقت بالا این طول المنت برای طول موج‌های بلندتر نیز در نظر گرفته شد.



ضخامت پایه در مانع شماره ۱ برابر ۱۰ سانتی متر و در مانع شماره ۲ برابر ۳۰ سانتی متر در نظر گرفته شده است. همچنین ضخامت قسمت T (لبه بالائی) مانع شماره ۱ نیز ۳۰ سانتی متر است. علت آن است که جهت نصب پخش کننده در سطح بالائی مانع شماره ۱ و همچنین سطح داخلی مانع شماره ۲ در برخی موارد نزدیک به ۳۰ سانتی متر فضا جهت ایجاد شیار نیاز می باشد لذا بمنظور حفظ یکنواختی در کلیه موارد این ضخامت حفظ گردید. همچنین طول لبه بالائی مانع ۱ برابر ۱ متر در نظر گرفته شده که با بسیاری از تحقیقات انجام شده برای مانع تکی T شکل همخوانی دارد.

تعداد ۱۶ نقطه در سمت چپ مانع شماره ۱ بعنوان گیرنده های صوتی در نظر گرفته شده که از سطح زمین تا ارتفاع ۷/۵ متری یعنی تقریباً یک ساختمان ۳ طبقه مدل شده است. فاصله شنونده ها از ۲۰ تا ۱۰۰ متر در نظر گرفته شده که بهترین فواصل جهت مدل کردن شرایط واقعی است. محل گیرنده های صوتی نیز در شکل ۱ نشان داده شده است.

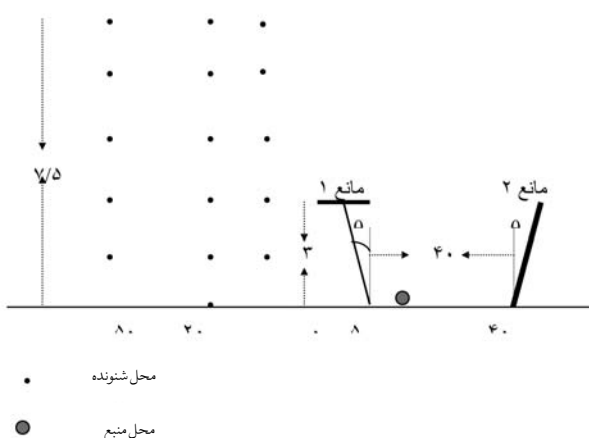
سطوح مورد استفاده در این مانع ها شامل سطوح سخت با ادمیتانس صفر ، سطوح جاذب با مقاومت شاره ای ۲۰۰۰ Ns/m⁴ و ضخامتی معادل ۰/۲۴۵ مترو سطوح پخش کننده شیاردار با فرکانس طراحی ۴۰۰ هرتز و عرض شیار ۱۲ سانتیمتر می باشند. ضخامت مواد جاذب مورد استفاده مناسب با بزرگترین عمق سطح پخش کننده انتخاب گردیده است. عمیق ترین

در نظر گرفته می شود. فرکانس های مورد مطالعه از ۵۰ تا ۴۰۰ هرتز در مراکز ۱۱/۳ اکتاو باند می باشد. میزان افت صدای نیز در هر فرکانس از رابطه $I_L = -20 \log_{10} \left| \frac{P_b}{P_f} \right| (\text{dB})$ بدست آمد:

که در آن P_b میزان فشار صوت وارد از منبع به محل شنونده در حالی که مانع صوتی بین منبع و شنونده وجود دارد و P_f میزان فشار صوت ناشی از منبع صوت در محل شنونده در زمانی که مانع صوتی بین منبع و شنونده وجود ندارد. همچنین جهت محاسبه کارآئی کلی موانع صوتی از بیناب شبکه A صدای ترافیک استفاده خواهد شد. بدین منظور از متند استاندارد BS EN 1793-3:1997 استفاده گردید [۱۶]. شرح کامل این روش در منبع شماره ۱۱ ارائه گردیده است.

نتایج

در این نوع مانع موازی هر دو مانع استفاده شده با سطح زمین دارای زاویه می باشند. مانع شماره ۱ یک مانع شیبدار T شکل بوده که در مبدأ مختصات قرار گرفته و مانع مقابل آن یک مانع ساده ای شیبدار که در فاصله ۴۰ متری سمت راست مانع شماره ۱ قرار گرفته است. شمای کلی مانع موازی شیبدار در شکل ۱ نشان داده شده است. همانگونه که در شکل نشان داده شده است، ارتفاع کلی هر دو مانع بایکدیگر یکسان و برابر ۳ متر می باشد.



شکل ۱-شمای کلی مدل مانع موازی شیبدار

مستقیم کمتر بوده و به همین دلیل نتایج با تداخل های کمتر قابل مشاهده است. همانطور که از شکل ۳ دیده می شود استفاده از ماده جاذب در سطح بالائی مانع ۱ در این نوع مانع موازی با شبیه ۵٪ تقریباً در فرکانس های پائین و میانه هیچ گونه تاثیری نداشته و تنها در فرکانس های بالای ۱۲۵۰ هرتز افزایش کارائی مشهود است. افزایش خاصیت جذب با افزایش فرکانس در مواد جاذب فیبری یک امر طبیعی است ولی عدم تاثیر این مواد جاذب در فرکانس های پائین بدليل شکل شبیه دار سطوح مانع و کاهش جاروب نمودن سطح فوقانی مانع شماره ۱ با امواج انعکاسی از مانع شماره ۲ می باشد. قاعده تا در این نوع مانع اگر بخواهیم میزان جذب را به سمت فرکانس های پائین ترسوک دهیم لازم است عرض لبه بالائی مانع شماره ۱ را افزایش دهیم.

استفاده از مواد جاذب در هر دو مانع شماره ۱ و ۲ تا حدود بیشتری کارآئی مانع را نسبت به مانع بازتاب دهنده افزایش خواهد داد. سطح رو به منبع مانع شماره ۲ از ابعاد بیشتری برخوردار بوده و جاذب کردن آن سطح می تواند بمیزان موثری از انعکاسات کاسته و عملکرد مانع را تقریباً از فرکانس های ۵۰۰ هرتز به بالاتر افزایش دهد. بعبارتی با استفاده از سطح بیشتر ماده جاذب طیف فرکانسی موثر وسیع تر و همچنین به سمت فرکانس های پائین ترسوک داده شده می شود. این نتایج در شکل ۴ به وضوح دیده می شود.

اثر : QRD

یکی از اهداف اصلی این تحقیق بررسی نحوه و میزان تاثیر سطوح پخش کننده QRD روی بخش های مختلف مانع موازی شبیه دار می باشد. در این قسمت از تحقیق اثر نصب QRD روی لبه بالائی مانع شماره ۱ مورد بررسی قرار گرفته است. همانطور که از شکل ۵ مشاهده می شود، مانع مدل PGS که یک مانع موازی شبیه دار با زوایه شبیه ۵ درجه بوده و روی لبه بالائی مانع شماره ۱ یک QRD با فرکانس طراحی ۴۰۰ هرتز نصب شده نسبت به مانع موازی معادل بازتاب دهنده خود در تعدادی از فرکانس های بالاتر از ۳۱۵ هرتز افزایش محسوسی در عملکرد آکوستیکی از خود نشان می دهد. هر چه فرکانس منبع صوتی بالاتر می

شیار در بین مانع های شبیه دار طراحی شده ۰/۲۴۵ متر بوده که مربوط به پخش کننده های با فرکانس طراحی ۴۰۰ هرتز است. عرض شبیه دار تمامی سطوح شبیه دار یکسان و برابر ۱۲ سانتی متر انتخاب گردید. با شرایط ذکر شده فوق با نصب واستفاده از شرایط مختلف روی هر یک از دو مانع ۱ و ۲ مدل های متفاوتی از مانع های موازی شبیه دار طراحی گردید. در جدول ۱ خصوصیات و جزئیات طراحی مدل های مختلف مانع های موازی شبیه دار مورد مطالعه، ارائه گردیده است.

اثر انعکاسات متعدد بر مانع شبیدار T شکل

یکی از راههای افزایش عملکرد مانع های موازی شبیدار کردن آنها تحت زوایای مختلف به طرف پیاده رو می باشد. در واقع در این روش امواج انعکاسی به سمت بالا منتشر شده و در کل انعکاسات سرازیر شده به سمت سایه صوتی را کاهش میدهد. در این قسمت از تحقیق میزان تاثیر یک مانع شبیه دار ساده با زوایای مختلف در مقابل یک مانع T شکل شبیه دار با زوایای مشابه مورد بررسی قرار گرفت. لذا به این منظور مقایسه عملکرد مانع موازی شبیه دار PRS با مانع تکی T شکل شبیه دار بنام مانع مدل RS که دقیقاً شرایط مانع شماره ۱ را در مدل مانع موازی PRS دارا می باشد در فرکانس های ۱/۳ اکتاو باند در محل شنونده شماره ۱ (مختصات (۰، -۵۰)) در شکل ۲ نشان داده شده است. در مانع مدل RS تمام مشخصات ابعادی ، جنس سطوح و همچنین محل قرار گیری منبع صوتی دقیقاً همچون مانع موازی مدل PRS می باشد. همانگونه که از شکل دیده می شود در میانه طیف در فاصله بین فرکانس های ۸۰ تا ۱۰۰۰ هرتز بطور محسوسی کارآئی مانع با نصب مانع شبیدار موازی کاهش پیدا نموده است.

اثر ماده ی جاذب

به منظور بررسی تاثیر مواد جاذب روی سطوح مختلف مانع موازی شبیه دار ابتدا سطح فوقانی مانع T شکل (مانع شماره ۱) توسط مانع جاذب پوشانده شد و مانع موازی شبیه دار مدل PAS طراحی گردید. در شنونده روی سطح زمین بدليل عدم وجود تصویر شنونده بزرگ میزان تداخلهای امواج مستقیم و غیر



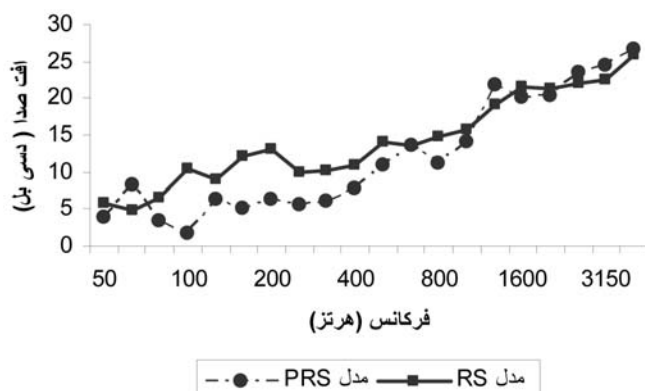
مدل	زاویه شیب (درجه)	مانع ۱	مانع ۲
PRS	۵	سخت (معکس کننده)	سخت (معکس کننده)
PAS	۵	قسمت بالاتر T با ماده جاذب پوشیده شده	سخت (معکس کننده)
PAAS	۵	قسمت بالاتر T با ماده جاذب پوشیده شده	قسمت رو به منبع با ماده جاذب پوشانده شده
PGS	۵	قسمت بالاتر T با پخش کننده پوشیده شده، فرکانس طراحی ۴۰۰ هرتز	سخت (معکس کننده)
PGGS	۵	قسمت بالاتر T با پخش کننده پوشیده شده، فرکانس طراحی ۴۰۰ هرتز	قسمت رو به منبع با ۳ تا پخش کننده پوشانده شده، فرکانس طراحی ۱۰۰۰ هرتز
PRST	۱۰	سخت (معکس کننده)	سخت (معکس کننده)
PAST	۱۰	قسمت بالاتر T با ماده جاذب پوشیده شده	سخت (معکس کننده)
PAAST	۱۰	قسمت بالاتر T با ماده جاذب پوشیده شده	قسمت رو به منبع با ماده جاذب پوشانده شده
PGST	۱۰	قسمت بالاتر T با پخش کننده پوشیده شده، فرکانس طراحی ۴۰۰ هرتز	سخت (معکس کننده)
PGGST	۱۰	قسمت بالاتر T با پخش کننده پوشیده شده، فرکانس طراحی ۴۰۰ هرتز	قسمت رو به منبع با ۳ تا پخش کننده پوشانده شده، فرکانس طراحی ۱۰۰۰ هرتز

جدول ۱- خصوصیات و جزئیات مدل‌های متفاوت مانع‌های موازی شیب دار استفاده شده در این تحقیق

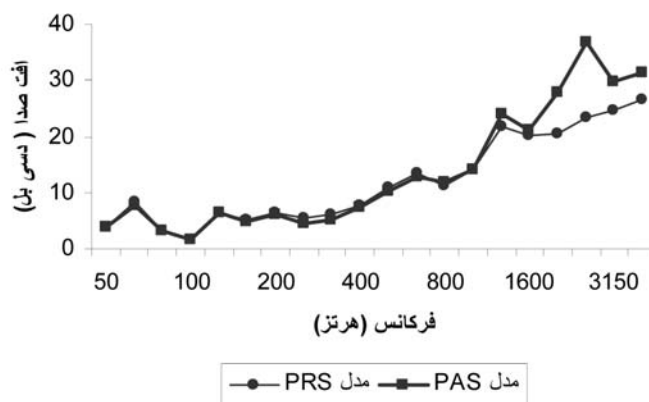
عکس سطوح پخش کننده در فرکانس طراحی عملکرد کمتری داشته و در سایر فرکانس‌های طیف موثر فرکانسی کارآئی آنها به میزان موثری بالا می‌باشد.

در تحقیق دیگری اثر توام سطوح پخش کننده در مانع شماره ۱ و ۲ مانع موازی با شیب ۵ درجه با طراحی مانع موازی مدل PGGS موردنبررسی قرار گرفت. در این بخش از بررسی عملکرد این مانع در شنونده‌های مختلف مورد برآورد قرار گرفته و عملکرد آن در محل شنونده شماره ۱ با مانع معادل بازتاب خود در شکل ۶ مقایسه گردیده است. همانطور که بهوضوح دیده می‌شود افزایش بسیار قابل توجهی در عملکرد مانع مخصوصاً در فرکانس‌های بالاتر از ۲۵۰ هرتز دیده می‌

رود بر میزان کارآئی مانع پخش کننده دار افزوده می‌شود که البته این روند تا انتهای طیف موثر فرکانسی QRD ادامه داشته و سپس مجدد اعملکرد مانع پخش کننده دار کاهش می‌یابد. این نتیجه نقش و تاثیر سطوح پخش کننده در عملکرد اکوستیکی مانع را نشان می‌دهد. ضمناً همانطور که در این نوع مانع نیز دیده می‌شود در فرکانس‌هایی که برابر یا مضربی از فرکانس طراحی هستند کاهش عملکرد دیده می‌شود که در این قسمت نقش بخش مجازی ادمیتانس سطوح شیارها حائز اهمیت بوده که مکانیسم آن برای مانع‌های تکی قبل از توسط منظم در منبع شماره ۱۱ توضیح داده شده است. لذا در این تحقیق نیز این تئوری تائید می‌گردد که مانع‌های پخش کننده دار بر



شکل ۲- مقایسه افت صدادر دو مانع مدل RS و PRS در محل شنونده (۵۰-۰-)

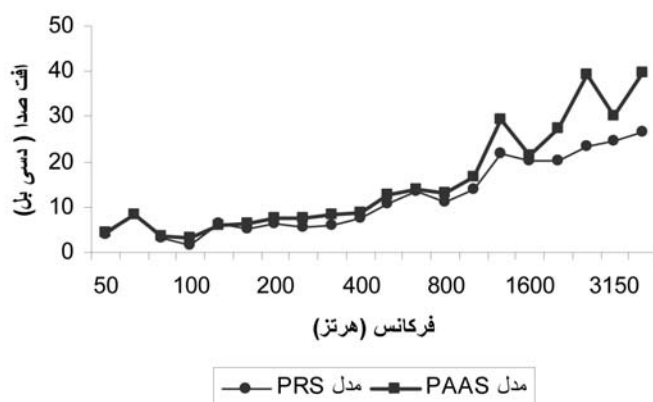


شکل ۳- مقایسه افت صدادر دو مانع مدل PRS و مدل PAS در محل شنونده (-۵۰،۰)

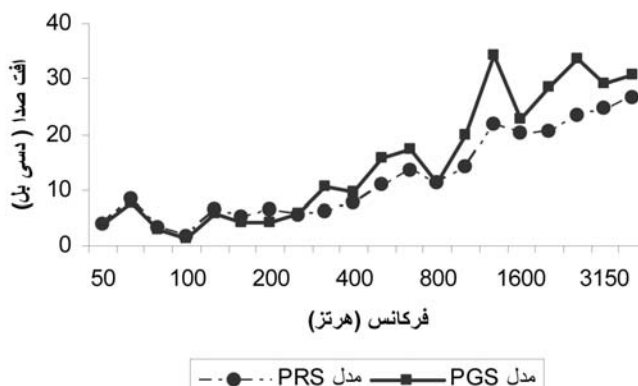
با شیب‌های ۰،۵ و ۱۰ درجه مدنظر قرار گرفتند. تنها اختلاف این سه مانع در شیب آنهاست، تعداد پخش کننده و نوع آن و همچنین محل قرار گیری آن در هر سه مانع یکسان است. افت صدا در این سه مانع که عبارتند از مانع‌های مدل PG (مانع موازی دارای پخش کننده در سطح بالائی مانع شماره ۱ با زاویه شیب صفر)، مانع مدل PGS (مانع موازی دارای پخش کننده در سطح بالائی مانع شماره ۱ با زاویه شیب ۵ درجه) و مانع مدل PGST (مانع موازی دارای پخش کننده در سطح بالائی مانع شماره ۱ با زاویه شیب ۱۰ درجه) در فرکانس زمین قرار داشته و به فاصله ۵۰ متر از مانع شماره ۱ می‌باشد مورد مقایسه قرار گرفت. شکل ۷ نتیجه این بخش از تحقیق را نمایش می‌دهد. همانگونه که از شکل نیز پیداست با افزایش شیب، عملکرد مانع‌های

شود. در این نوع مانع پخش کننده دار نیز فرکانس طراحی همان ۴۰۰ هرتز بوده و همچنان که بهوضوح دیده می‌شود ضعف این مانع نیز در فرکانس‌های معادل و یا مضارب صحیح این فرکانس می‌باشد و در سایر فرکانس‌ها کار آئی بسیار بهتری برآورده گردیده است. نکته مهم دیگر سطح بزرگتر سطوح پخش کننده مورد استفاده در روی سطح روبه منبع مانع شماره ۲ باعث کشیده شدن فرکانس موثر از ۳۱۵ هرتز به فرکانس‌های پائین تر تا حدود ۲۵۰ هرتز گردیده است. که قطعاً این امر باعث افزایش کار آئی کلی عملکرد این مانع خواهد گردید.

اثر میزان شیب در مانع‌های پخش کننده دار بمنظور بررسی تاثیر شیب مانع در مانع‌های پخش کننده دار سه مدل مختلف مانع‌های پخش کننده دار



شکل ۴- مقایسه افت صدادر دو مانع مدل PRS و مدل PAAS در محل شنونده (-۵۰،۰)



شکل ۵- مقایسه افت صدا در دو مانع مدل PRS و PGS در محل شنونده (۰،۰-۵۰،۰)

پخش کننده QRD می‌توان عملکرد مانع را به مانع موازی شبیدار نزدیک نمود.

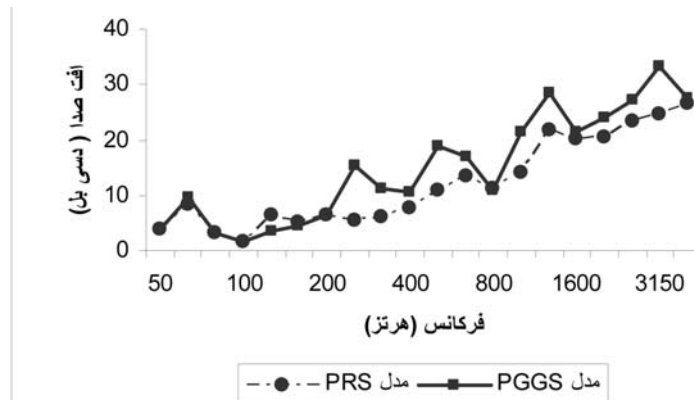
همچنین نتایج مربوط به عملکرد کلی در شبکه ANshan داد که در صورت استفاده از سطوح پخش کننده روی سطوح موانع شبیدار موازی عملکرد کلی را می‌توان تاحد قابل قبولی افزایش داد، در این شرایط میزان اختلاف عملکرد کلی مانع پخش کننده دار با شبیه صفر درجه PGG به میزان $\frac{3}{4}$ دسی بل A از مانع پخش کننده دار با شبیب ۵ درجه PGGS و ۴/۵ دسی بل از مانع پخش کننده دار با شبیب ۱۰ درجه PGGST کمتر می‌باشد. که این اختلاف از همه انواع مانع‌های مورد بررسی کمتر است. بعبارتی بیشترین تاثیر در مانع‌های موازی را استفاده از سطوح پخش کننده روی هر دو مانع به همراه خواهد داشت.

عملکرد کلی مانع‌های موازی شبیب دار در شبکه A در این بخش کارآئی کلی تمام موانع موازی شبیدار طراحی شده در مقیاس دسی بل A که از بین ۱۶ نتیجه عملکرد مرتبط با ۱۶ نقطه شنونده بدست آمده در اشکال ۹ و ۱۰ مورد مقایسه قرار گرفته است. در این اشکال شنونده‌ها بدو دسته تقسیم شده اند شنونده‌های با ارتفاع کمتر از ارتفاع مانع (ارتفاع شنونده ۳ متر و کمتر از آن) و میانگین کل شنونده‌های کمتر از ۷/۵ متر.

همانطور که از شکل ۹ که مربوط به مانع‌های بازاویه شبیب ۵ درجه است، بوضوح مشخص است قاعده بهترین عملکرد کلی مربوط به مانع تکی IRS است و

پخش کننده دار در فرکانس‌های بالاتر از ۲۰۰ هرتز افزایش می‌یابد. با افزایش فرکانس نیز بر میزان تاثیر شبیب در مانع‌های موازی پخش کننده دار افزوده می‌شود. روند تغییر در مانع‌های پخش کننده دار و جاذب دار و حتی بازتاب دهنده بسیار به یکدیگر شbahat داشته و این نشان دهنده این مطلب است که تاثیر شبیب در مواقعي که فقط سطح بالائی مانع شماره ۱ با ماده جاذب و یا پخش کننده پوشانده می‌شود تغییر آنچنانی و محسوسی در روند عملکرد و تاثیر میزان شبیب مانع‌های موازی ایجاد نمی‌گردد. البته لازم بذکر است که عملکرد کلی با تغییر روبروست که در اشکال ۹ و ۱۰ این موضوع قابل مشاهده می‌باشد.

وضعیت در مواقعي که هر دو مانع با پخش کننده پوشانده می‌شوند با شرایط قبل که فقط در مانع شماره ۱ از پخش کننده استفاده شده بود کاملاً متفاوت است. همانطور که از شکل ۸ بدشت می‌شود در این شرایط تا حدود زیادی عملکرد مانع‌های با شبیب‌های مختلف در فرکانس‌های مختلف به یکدیگر نزدیک گردیده اند یعنی سطوح پخش کننده در این شرایط قادر بوده اند تا حدود زیادی اثر شبیب را تحت الشعاع قرار دهند. این شرایط در مانع‌های جاذب دار کامل نیز تقریباً مشاهده شد. دلیل این امر در مانع با پخش کننده کامل نیز در آنست که سطح بزرگتر پخش کننده از میزان انعکاسات و رسیدن امواج زیاد مستقیم و غیر مستقیم به محل شنونده کاسته و تداخلهای سازنده این امواج نیز کاسته شده اند. بعبارت دیگر می‌توان اینگونه نتیجه گرفت که با پوشاندن سطوح دیوارهای دار مانع‌های موازی با

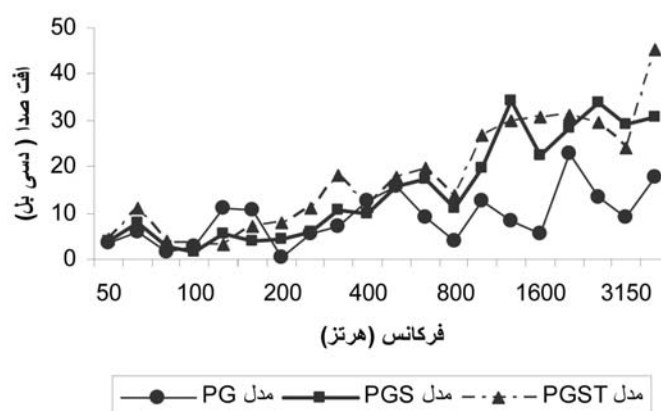


شکل ۶- مقایسه افت صدادر دومانع مدل PRS و PGGS در محل شنونده (-۵۰..۰)

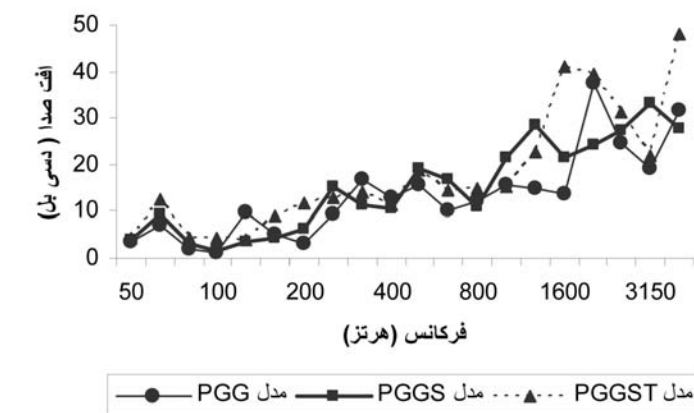
کل شنونده‌ها از سطح زمین تا ارتفاع ۷/۵ متر تقریباً ۱/۰- دسی بل A نسبت به مانع موازی بازتاب دهنده ساده می‌باشد. از شکل ۱۰ که مربوط به مانع‌های با زاویه شیب ۱۰ درجه است، می‌توان بوضوح دید که همچنان بهترین عملکرد کلی مربوط به مانع تکی RST است و هیچکدام از اشکال و طراحی‌ها قادر به حذف کلیه مشکلات ناشی از افزودن پخش کننده‌دار تقریباً کار آئی مربوط به مانع مدل PGGS می‌باشد.

بعبارتی استفاده از مانع پخش کننده‌دار تقریباً کار آئی برابر با مانع کاملاً جاذب دار مدل PAAS داشته و همچنین تقریباً به اندازه ۲ دسی بل A بیشتر از مانع موازی بازتاب دهنده قادر به بهبود وضعیت عملکرد مانع موازی شیب دار می‌باشد. تمام طرح‌های ارائه شده به مقادیر قابل توجهی کار آئی مانع موازی بازتاب دهنده را بهبود بخشدند که کمترین افزایش ایجاد شده توسط مانع موازی مدل PAS می‌باشد. کمترین میزان افزایش ایجاد شده توسط این مانع بوده که برای شنونده‌های با ارتفاع زیر ۳/۰ متر ۰/۲ دسی بل A و برای در این مانع‌های هامی باشد.

هیچکدام از اشکال و طراحی‌ها قادر به حذف کلیه مشکلات ناشی از افزودن مانع اضافی در مقابل مانع تکی نمی‌باشند ولی در بین مانع‌های طراحی شده بهترین کار آئی مربوط به مانع مدل PGGS می‌باشد. بعبارتی استفاده از مانع پخش کننده‌دار تقریباً کار آئی برابر با مانع کاملاً جاذب دار مدل PAAS داشته و همچنین تقریباً به اندازه ۲ دسی بل A بیشتر از مانع موازی بازتاب دهنده قادر به بهبود وضعیت عملکرد مانع موازی شیب دار می‌باشد. تمام طرح‌های ارائه شده به مقادیر قابل توجهی کار آئی مانع موازی بازتاب دهنده را بهبود بخشدند که کمترین افزایش ایجاد شده توسط مانع موازی مدل PAS می‌باشد. کمترین میزان افزایش ایجاد شده توسط این مانع بوده که برای شنونده‌های با ارتفاع زیر ۳/۰ متر ۰/۲ دسی بل A و برای



شکل ۷- مقایسه افت صدادر سه مانع مدل PG و PGS و PGST در محل شنونده (-۵۰..۰)



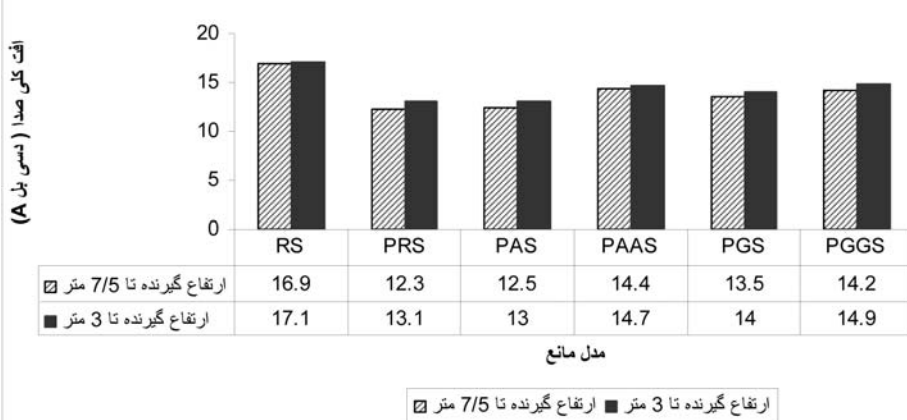
شکل ۸- مقایسه افت صادر سه مانع مدل PGG و PGGS در محل شنونده (-۵۰..۰)

۸۰ تا ۱۰۰۰ هرتز به طور محسوسی کار آئی مانع کاهش پیدامی کند. گرچه باشیدار کردن وابستگی فرکانسی مانع موازی تا حد زیادی کاهش یافته ولی همچنان به دلیل تداخل های سازنده و مخرب بین امواج مستقیم و انعکاسی روی مانع شماره ۱ انتخابی بودن فرکانس در عملکرد این دسته از مانع های نیز بویژه در فرکانس های بالا دیده می شود. کاهش عملکرد مانع موازی در مقایسه با مانع تکی به دلیل افزوده شدن یک منعکس کننده در مقابل مانع گرچه به شکل شیبدار باعث کاهش چشمگیر عملکرد کلی مانع موازی در مقیاس دسی بل A می گردد. میزان کاهش افت درجه نسبت به مانع تکی معادل بطور متوسط ۴ دسی بل A برآورد گردید. ۲ در این دسته از موانع باشیدار با مانع تکی نصب ماده

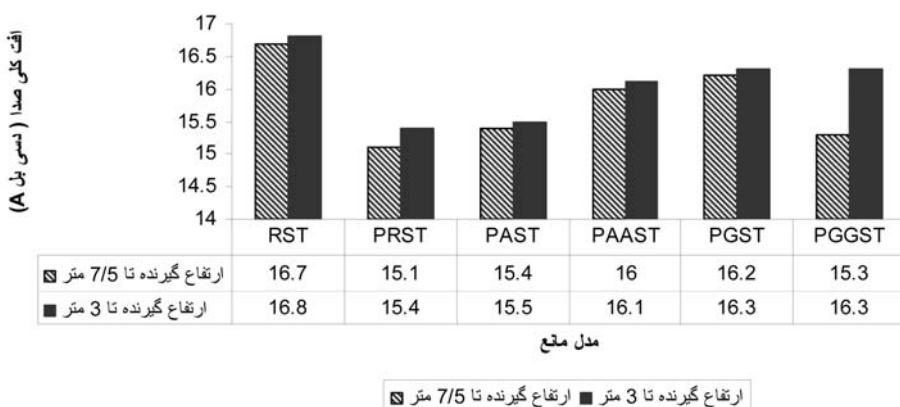
بحث و نتیجه گیری

کنترل صدا با استفاده از سطوح پخش کننده شیبدار در مانع های موازی شیبدار به وسیله ای روش شبیه سازی دو بعدی عنصر مرزی مورد بررسی قرار گرفت. همچنین کاهش صدای باند پهن در موقعیت شنونده در $\frac{1}{3}$ اکتاوباند در شبکه ای وزنی A از ۵۰ تا ۴۰۰ هرتزمی باشد. عملکرد سه سطح مختلف سفت، جاذب و پخش کننده روی مانع های شیبدار با شبیه های متفاوت نیز ارزیابی شد. همچنین عملکرد مانع های پخش کننده با مانع های سخت و جاذب مقایسه شده است که نتایج به شرح زیر می باشد:

- ۱- با نصب یک مانع شیبدار در مقابل مانع تکی شکل شیبدار در میانه طیف در فاصله بین فرکانس های



شکل ۹- مقایسه عملکرد کلی کلیه مانع های طراحی شده موازی باشیدار در درجه ۵ در سری شنونده های متفاوت بر حسب (dB(A)



شکل ۱۰- مقایسه عملکرد کلیه مانع های طراحی شده موازی باشیب ۱۰ درجه در دو سری شنونده های متفاوت بر حسب (dB(A))

دهد و همچنین استفاده از سطوح پخش کننده در هر دو مانع بمیزان ۱/۸ دسی بل کارآئی مانع معادل بازتاب دهنده افزایش می دهد.

۵- اثر شیب در مانع های موازی شبیدار نیز مقایسه گردید و مشخص شد که با افزایش شیب از ۰ تا ۱۰ درجه می توان به میزان زیادی از افت عملکرد در مانع های موازی کاست. و همچنین بالافزایش شیب از میزان تاثیر عملکرد سطوح جاذب و همچنین سطوح پخش کننده می کاهد. در این خصوص گرچه عملکرد کلی مانع تکی باشیب ۱۰ درجه به میزان ۳/۰ دسی بل از مانع تکی باشیب ۵ درجه کمتر است ولی مانع موازی معادل بازتاب دهنده باشیب ۱۰ درجه به میزان ۲/۳ دسی بل از مانع موازی بازتاب دهنده معادل با شیب ۵ درجه کارآئی بیشتری دارد. به عبارتی افزایش شیب تاثیر مانع مقابله با بمیزان ۶/۲ دسی بل کاهش داده است. به همین ترتیب کلیه اشکال مختلف مانع های موازی باشیب ۱۰ درجه از مانع های موازی باشیب ۵ و ۰ درجه کارآئی بالاتری را از خود نشان می دهنند. در این خصوص بهترین واقعیت اقتصادی ترین مانع با میزان افت صدای معادل ۱۶/۳ دسی بل A مانع موازی پخش کننده دار باشیب ۱۰ درجه (مانع مدل PGST) بوده که کارآئی آن فقط به میزان ۵/۰ دسی بل از مانع تکی بازتاب دهنده معادل خود کمتر می باشد.

جادب روی لبه بالائی مانع شماره ۱ به دلیل کم بودن سطح ماده جاذب تاثیر زیادی در افزایش کارآئی مانع های موازی شبیدار فرکانس های کم نداشته و تا حدودی در فرکانس های بالا افزایش کارآئی مشاهده گردید. میزان افزایش در افت کلی مانع موازی ساده بازتاب دهنده با این روش بطور متوسط فقط ۱/۰ دسی بل A تعیین شد.

۳- در مانع موازی شبیدار باشیب ۵ درجه، نصب ماده جاذب روی هر دو مانع، سطح جاذب شده مانع ها را افزایش داده و تا حدود زیادی فرکانس های موثر را به سمت فرکانس های پائین تر سوق می دهد. عبارتی در این دسته از مانع با افزایش سطح جاذب در قسمت های مختلف مانع می توان فرکانس های موثر را به سمت فرکانس های متوسط و پائین سوق داده و در نتیجه عملکرد کلی مانع را بالا بردار این خصوص میزان افزایش متوسط برآورده شده نسبت به مانع معادل موازی بازتاب دهنده ۱/۶ دسی بل A برآورد گردید. در این دسته از مانع های میزان بهبود عملکرد تقریباً در کلیه فواصل از جمله دور و نزدیک و ارتفاعات مختلف تقریباً یکسان بود.

۴- جهت بهبود عملکرد مانع های موازی شبیدار از سطوح پخش کننده استفاده شد. نتایج بدست آمده در این دسته از مانع های اشکال افزایش کارآئی کلی مانع و همچنین در محدوده طیف فرکانسی سطوح شیار دار می باشد. در این خصوص استفاده از سطوح پخش کننده در سطح بالائی مانع شماره ۱ به میزان ۹/۰ دسی بل A کارآئی مانع بازتاب دهنده معادل را افزایش می



16. BS EN 1793-3:1998 (1998). Road traffic noise reducing devices- Test method for determining the acoustic performance, Part 3. Normalized traffic noise spectrum.

منابع

1. Bowlby, W. & Cohn, L. (1986). A model for insertion loss degradation for parallel highway noise barriers. *J Acoust Soc Am*. 80 (3), pp. 855-868.
2. Slutsky, S. & Bertoni, H.L. (1998). Analysis and programs for assessment of absorptive and tilted parallel barriers. *Transportation Research Record* 1176, Washington.
3. Hothersall, D.C. & Crombie, D.H. & Chandler-Wilde, S.N. (1991). The performance of T-shape profile and associated noise barriers. *Applied Acoustics* 32(4), pp.269-281.
4. Ishizuka, T. Fujiwara, K. (2004). Performance of noise barriers with various edge shapes and acoustical conditions. *Applied Acoustic*, 65, pp.125-41.
5. Monazzam, M. R. Lam, Y. W. (2005). Performance of profile single noise barriers covered with quadratic residue diffusers. *Applied Acoustics* 66, pp.709-730.
6. Bowlby, W. (1984). Analysis and Control of multiple reflections between parallel Traffic Noise Barrier. Ph.D dissertation, Vanderbilt University, Nashville, TN
7. Watts G.R. and Godfrey N.S., "Effects on roadside noise levels of sound absorptive materials in noise barriers", *Applied Acoustics* 58, 385-402 (1999).
8. Watts G.R., "Acoustic performance of an Interference -Type noise barrier profile", *Applied Acoustics* 49, 1-16 (1996).
9. Fujiwara, K. (1990). Sound shielding efficiency of a barrier with soft surface. *Proc. Inter noise*, 90, pp. 343-346.
10. Claudio, C. & Massimo, C. & Lucia, F. (2007). Experimental verification of the acoustic performance of diffusive roadside noise barriers. *Applied acoustics*, 68, pp.1357-1372.
11. Monazzam, M. R. (2005) Application of diffuser surfaces on single profile environmental noise barriers: Evaluation, Theory and optimization. PhD Thesis, University of Salford
12. Delany, M.E. & Bazely, E.N. (1970). Acoustical properties of fibrous absorbent material. *Applied Acoustic*;3(2), pp.105-16.
13. Wu, T. & Cox, T. J. & Lam, Y. W. (2001). From a profiled diffuser to an optimized absorber. *J. Acoust. Soc. Am* 119 (6), pp.3064-3070.
14. Cox, T. J. & D'Antonio, P. (2004). *Acoustic Absorber and Diffusers: Theory, design and application.* (Spon Press, Taylor and Francis Group, London and N.Y. USA)
15. Monazzam, M.R. & Lam, Y.W. (2008). Performance of T-shape barriers with top surface covered with absorptive quadratic residue diffusers. *led Acoustics*, 69(2), pp.93-109.